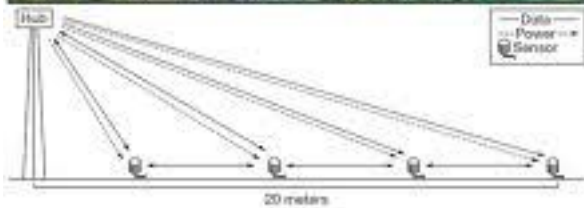
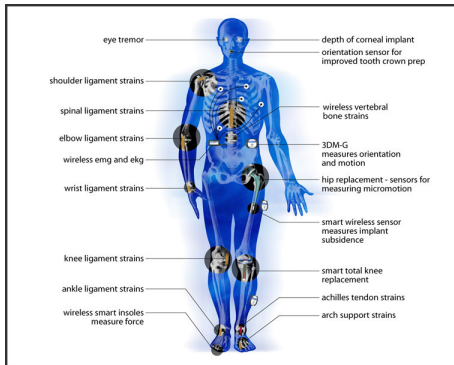


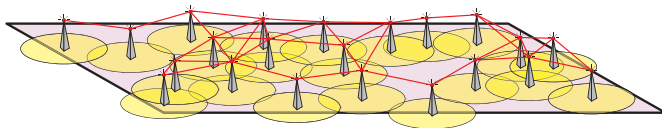
# Homologies et réseaux de capteurs

L. Decreusefond

MAT4NET



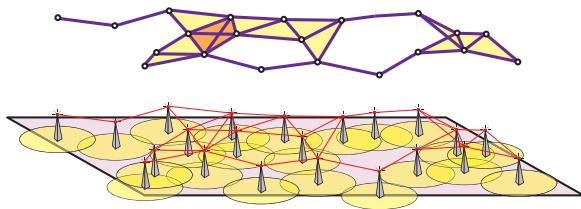




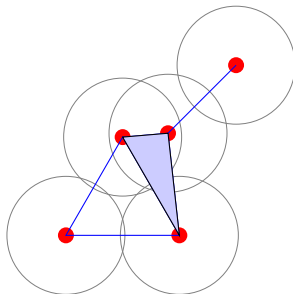
# Complexe simplicial

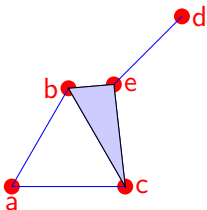
- Généralise la notion de graphes
- Constitué d'arêtes, de triangles, de tétraèdres, ...

# Exemple



# Complexe de Čech





Sommets :  $\{ a, b, c, d, e \} = \mathcal{C}_0$

Arêtes :  $\{ ab, bc, ca, be, ec, ed \} = \mathcal{C}_1$

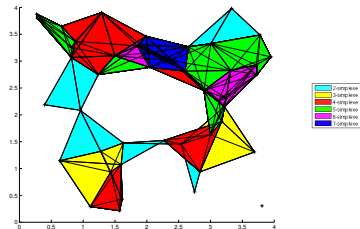
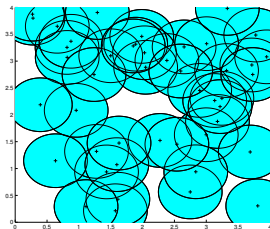
Triangles :  $\{ bec \} = \mathcal{C}_2$

Tétraèdre :  $\emptyset = \mathcal{C}_3$





# Exemple plus compliqué



## Définition

$$\begin{aligned}\partial_k : C_k &\longrightarrow C_{k-1} \\ [v_0, \dots, v_k] &\longmapsto \sum_{j=0}^k (-1)^j [v_0, \dots, \hat{v}_j, \dots]\end{aligned}$$

## Exemple

$$\partial(bec) = ec - bc + be$$

$$\partial^2(bec) = c - e - (c - b) + e - b = 0$$

## Théorème

$$\partial_k \partial_{k+1} = 0$$

## Conséquence

$$\text{Im } \partial_{k+1} \subset \ker \partial_k$$

## Définition

$$\beta_k = \dim \ker \partial_k - \text{range } \partial_{k+1}$$

- $\beta_0$  : nb de composantes connexes
- $\beta_1$  : nb de trous
- $\beta_2$  : nb de « vides »
- ...

# Exemple

← Rappel :

$$\mathcal{C}_0 = \{a, b, c, d, e\}, \quad \mathcal{C}_1 = \{ab, bc, ca, be, ec, ed\}$$

$$\partial_0 \equiv 0, \quad \partial_1 = \begin{pmatrix} -1 & 0 & 1 & -1 & 0 & 0 \\ 1 & -1 & 0 & 0 & 0 & -1 \\ 0 & 1 & -1 & 0 & 1 & 0 \\ 0 & 0 & 0 & 0 & 0 & 1 \\ 0 & 0 & 0 & 1 & -1 & 0 \end{pmatrix}$$

**Nb de composantes connexes**

$$\dim \ker \partial_0 = 5, \quad \text{range } \partial_1 = 4 \text{ donc } \beta_0 = 1$$

Rappel :

$$\mathcal{C}_1 = \{ab, bc, ca, be, ec, ed\}, \mathcal{C}_2 = \{bec\}$$

$$\partial_2 = \begin{pmatrix} 0 \\ -1 \\ 0 \\ 1 \\ 1 \\ 0 \end{pmatrix}$$

$\dim \ker \partial_1 = 2$ ,  $\text{range } \partial_2 = 1$  donc  $\beta_1 = 1$

## Définition

$$\chi = \sum_{j=0}^d (-1)^j \beta_j = \sum_{j=0}^{\infty} (-1)^j |\mathcal{C}_k|$$

## Inégalité de Morse

$$-|\mathcal{C}_{k-1}| + |\mathcal{C}_k| - |\mathcal{C}_{k+1}| \leq \beta_k \leq |\mathcal{C}_k|$$

- Algorithme centralisé
- Nécessite de connaître les positions exactes

## Complexe de Rips

$$[x_0, \dots, x_k] \in \mathcal{R}_k(\epsilon) \iff |x_i - x_j| \leq \epsilon$$



- Si distance  $= l^\infty$ ,  $\mathcal{C}_k(\epsilon) = \mathcal{R}_k(\epsilon)$
- Pour la distance euclidienne

$$\mathcal{R}_k\left(\epsilon \sqrt{\frac{d+1}{2d}}\right) \subset \mathcal{C}_k(\epsilon) \subset \mathcal{R}_k(2\epsilon)$$

# Quelques résultats (D-Ferraz-Randriam-Vergne)

$n$  points, uniformément répartis sur un  $d$ -tore d'arête  $a$

$k$  simplexes

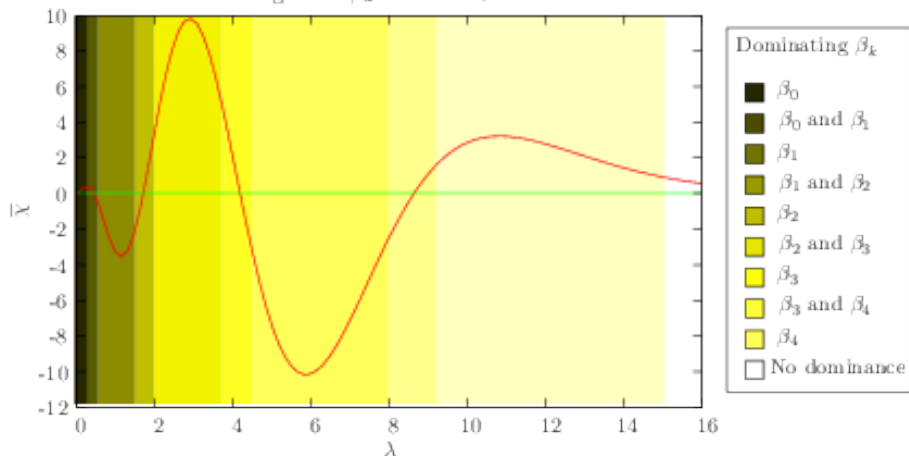
$$\mathbf{E}[|C_k(n)|] = \binom{n}{k+1} (k+1)^d \left(\frac{2\epsilon}{a}\right)^{dk}$$

Caractéristique d'Euler

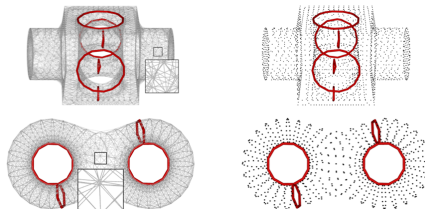
$$\mathbf{E}[\chi(n)] = \sum_{k=0}^n \binom{n}{k+1} (-1)^k (k+1)^d \left(\frac{2\epsilon}{a}\right)^{dk}$$

# Dimension 5

Domination regions of  $\beta_k$  when  $d = 5$  in function of  $\lambda$



- Calculs algébriques classiques
- Base « minimale » des e.v. quotients donne les bords des trous



# Autre application (D.- Martins- Vergne)

## Green networking

Eteindre des capteurs en maintenant la couverture

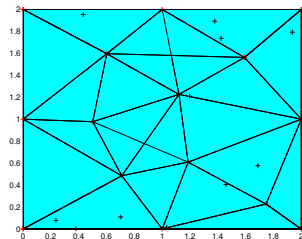
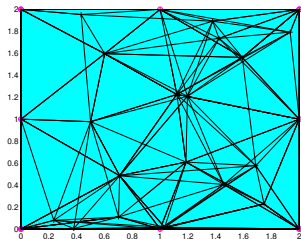
## Hauteur d'une arête

Ordre du plus grand simplexe auquel elle appartient

## Indice d'un sommet

Minimum des hauteurs des arêtes adjacentes

# Exemple



## Régime sous-critique

Si

$$k^{\frac{1+\eta-d}{k-1}} < \theta := \left(\frac{\epsilon_n}{a}\right)^d < \frac{k^{-\frac{1+\eta+d}{k}}}{n^{\frac{k+1}{k}}}$$

alors la hauteur tend vers  $k$  quand  $n$  tend vers l'infini.

## Régime critique

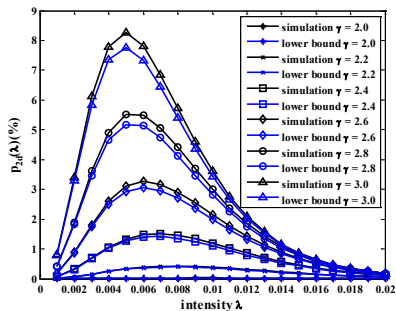
Si  $n\theta_n \rightarrow 1$  alors

$$(\ln n)^{1-\eta} < \text{hauteur} < \ln n, \quad \forall \eta > 0.$$





## Régime sur-critique

Si  $n\theta_n \rightarrow \infty$  alors hauteur  $\sim n\theta_n$ .

- Norme euclidienne
- Rayon de couverture  $R_S$
- Rayon de communication  $R_C$





-  L. Decreusefond, E. Ferraz, H. Randriambololona, and A. Vergne.  
Simplicial homology of random configurations.  
*Advances in Applied Probability.*, 2013.
-  A. Vergne, L. Decreusefond, and Ph. Martins.  
Reduction algorithm for simplicial complexes.  
In *Infocom*, April 2013.
-  F. Yan, Ph. Martins, and L. Decreusefond.  
Connectivity-based distributed coverage hole detection in wireless sensor networks.  
In *Globecom'11*, Houston, Texas, USA, August 2011.
-  F. Yan, Ph. Martins, and L. Decreusefond.  
Accuracy of homology based approaches for coverage hole detection in wireless sensor networks.  
In *ICC 2012*, June 2012.